

Информационная система сбора и коррекции навигационных данных

Чукин В.В., Алдошкина Е.С., Вахнин А.В., Обрезкова И.В., Нгуен Т.Т.

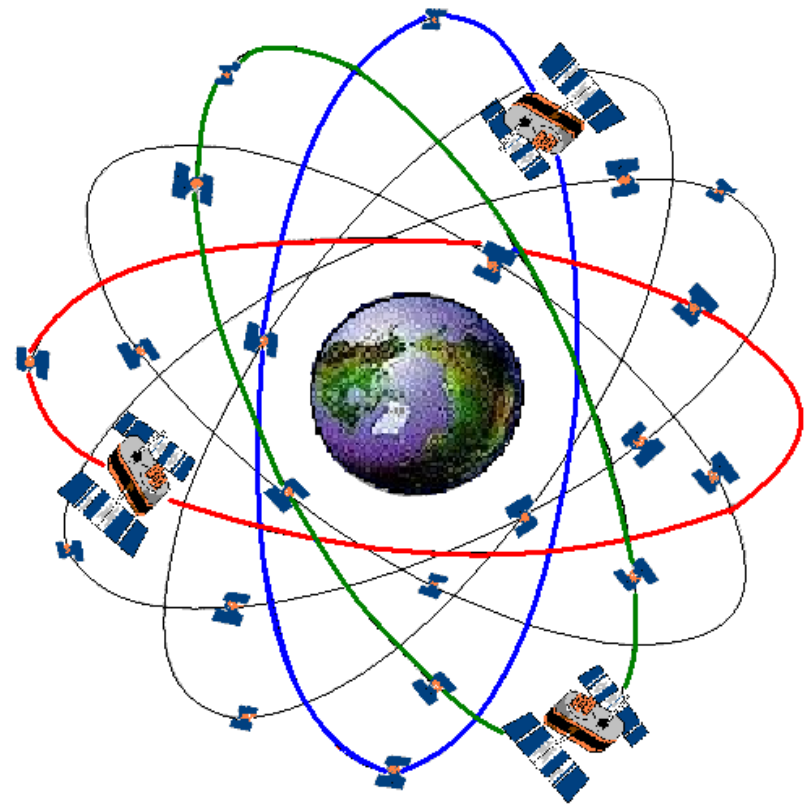


Глобальная навигационная спутниковая система (ГНСС)

ГЛОНАСС



GPS

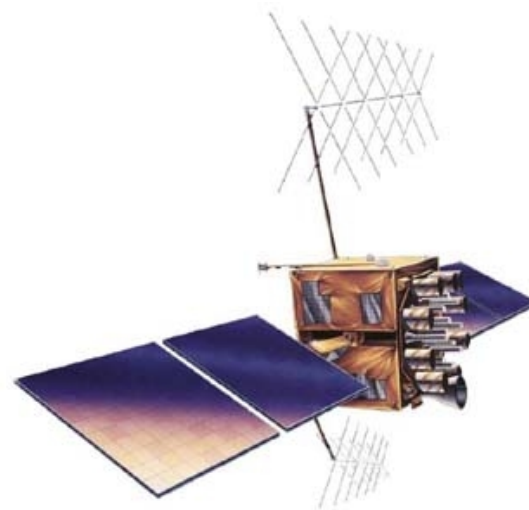


КА системы ГЛОНАСС и GPS



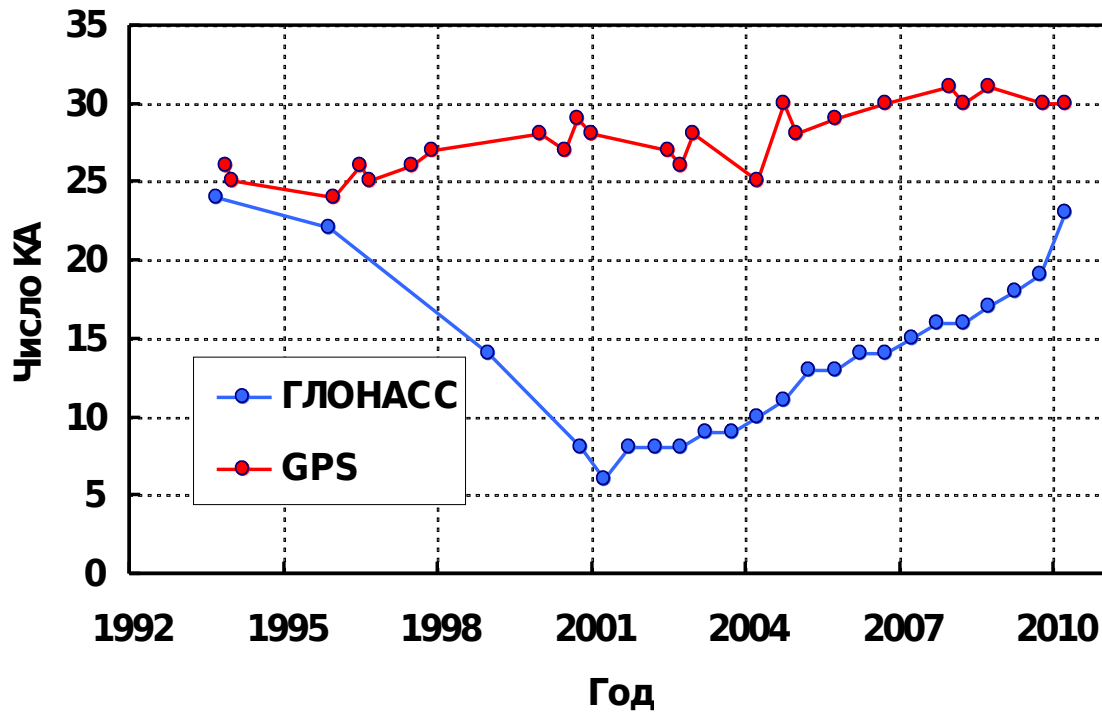
КА «Глонасс-М»

Параметр	Значение
Срок службы	7 лет
Масса	1415 кг
Мощность батарей	1400 Вт

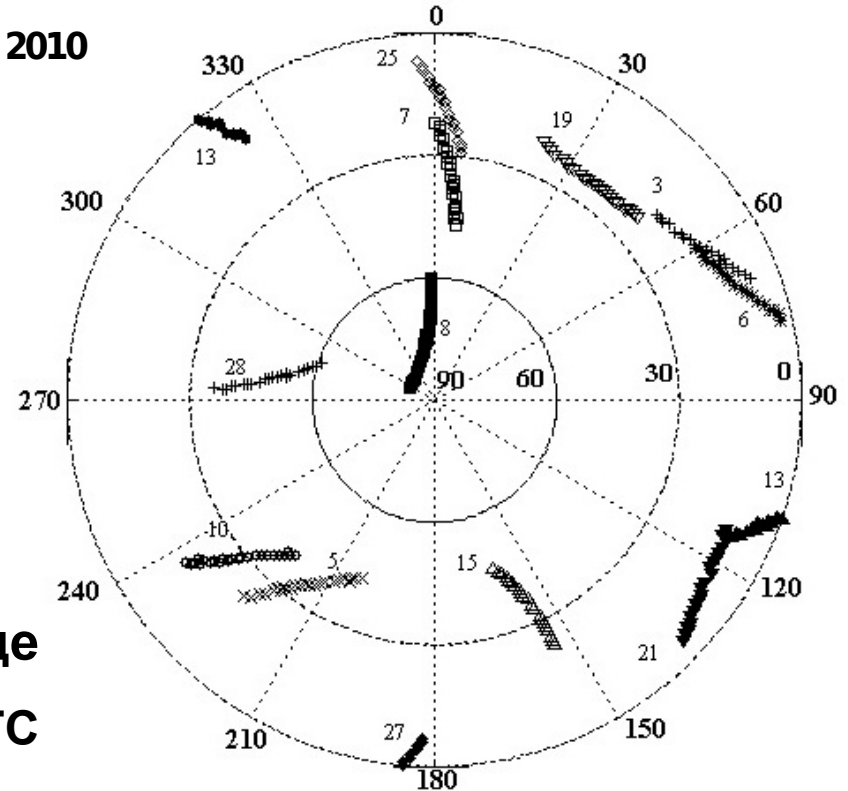


КА «Block IIR-M»

Параметр	Значение
Срок службы	10 лет
Масса	2032 кг
Мощность батарей	1136 Вт



Орбитальная группировка КА ГНСС



Положение КА GPS на небосводе
с 05.12.2009 02:56 по 05.12.2009 03:56 UTC

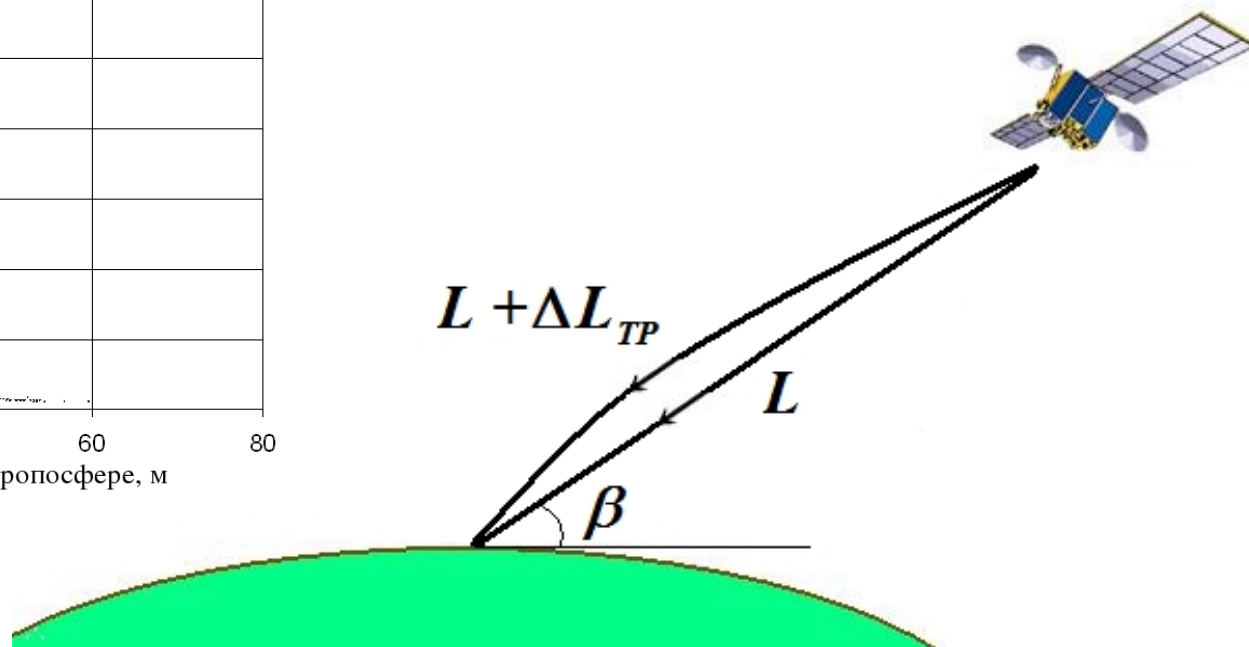
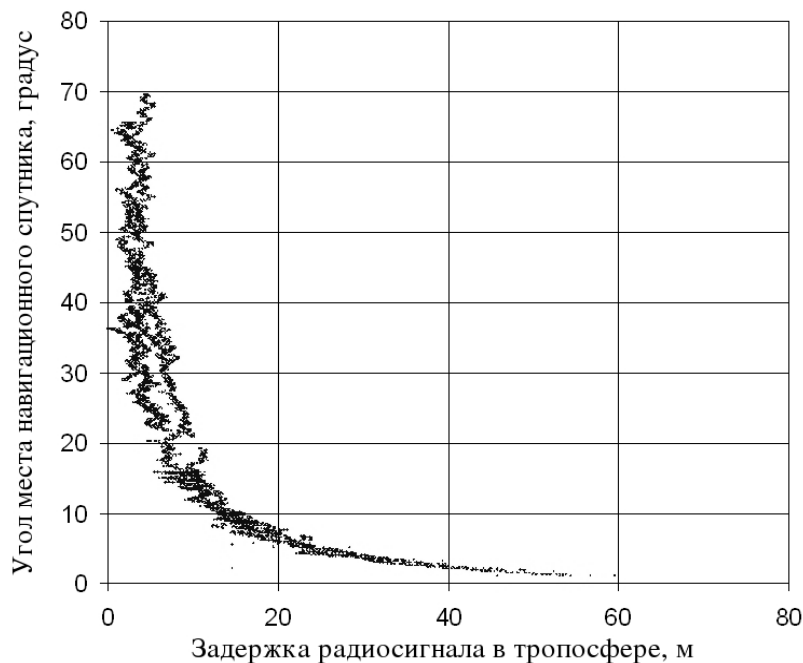
Параметры космического комплекса систем ГЛОНАСС и GPS

Параметр	ГНСС	
	ГЛОНАСС	GPS
Число спутников	23	30
Число орбитальных плоскостей	3	6
Число спутников в плоскости	до 8	до 6
Тип орбиты	круговая	круговая
Высота орбиты, км	19 100	20 145
Наклонение орбиты, град.	64.8	55.0
Период обращения	11 ч 16 мин	11 ч 57 мин
Частоты используемых радиосигналов, МГц	L1: $1602+k \cdot 0.5625$ L2: $1246+k \cdot 0.4375$	L1: 1575.42 L2: 1227.60

Типы навигационных сигналов систем ГЛОНАСС и GPS

ГНСС	Тип КА	Год	Диапазон частот			
			L1	L2	L3	L5
ГЛОНАСС	Глонасс	1982	BT, CT	BT	-	-
	Глонасс-М	2007	BT, CT	BT, CT	-	-
	Глонасс-К	2010	BT, CT, L1ROC	BT, CT	BT, CT	L5ROC
	Глонасс-КМ	2015	BT, CT, L1ROC, L1SC	BT, CT, L2OC, L2SC	BT, CT, L3SC	L5ROC
GPS	Block IIA	1990	P, C/A	P	-	-
	Block IIR	1997	P, C/A	P	-	-
	Block IIR-M	2005	P, C/A, M	P, L2C, M	-	-
	Block IIF	2009	P, C/A, M	P, L2C, M	-	I, Q
	Block III	2014	P, C/A, M, L1C	P, L2C, M	-	I, Q

Задержка радиосигнала в тропосфере



Дополнительная задержка радиосигнала, связанная с прохождением через тропосферный слой определяется выражением:

$$\Delta L_{TP} = \int_0^L (n - 1) dl$$

Определение интегрального содержания водяного пара в атмосфере

На основе результатов измерения задержки радиосигнала в тропосфере возможно определение влагосодержания атмосферы по расчетной формуле:

$$PWV = k \cdot (\Delta L_{TP} - \Delta L_{GC})$$

$$k = \left(\sin \beta + \frac{c}{\sin \beta + \frac{d}{\sin \beta + 0.05917}} \right) \cdot \left(k'_2 \cdot R_{II} + \frac{k_3 \cdot R_{II}}{T_m} \right)^{-1}$$

$$T_m = 70.2 + 0.72 \cdot T_0$$

$$c = 5.236 \cdot 10^{-3} + 2.471 \cdot 10^{-9} \cdot (P_0 - 10^5) + 1.724 \cdot 10^{-7} \cdot (T_0 - 288.15) + 1.328 \cdot 10^{-6} \cdot \sqrt{e_0}$$

$$d = 1.705 \cdot 10^{-3} + 7.384 \cdot 10^{-9} \cdot (P_0 - 10^5) + 3.767 \cdot 10^{-7} \cdot (T_0 - 288.15) + 2.147 \cdot 10^{-6} \cdot \sqrt{e_0}$$

Гидростатическая часть задержки радиосигнала в тропосфере

Гидростатическая часть задержки может быть определена по формуле, использующей модель Саастамойнена и отображающую функцию Ифадиса:

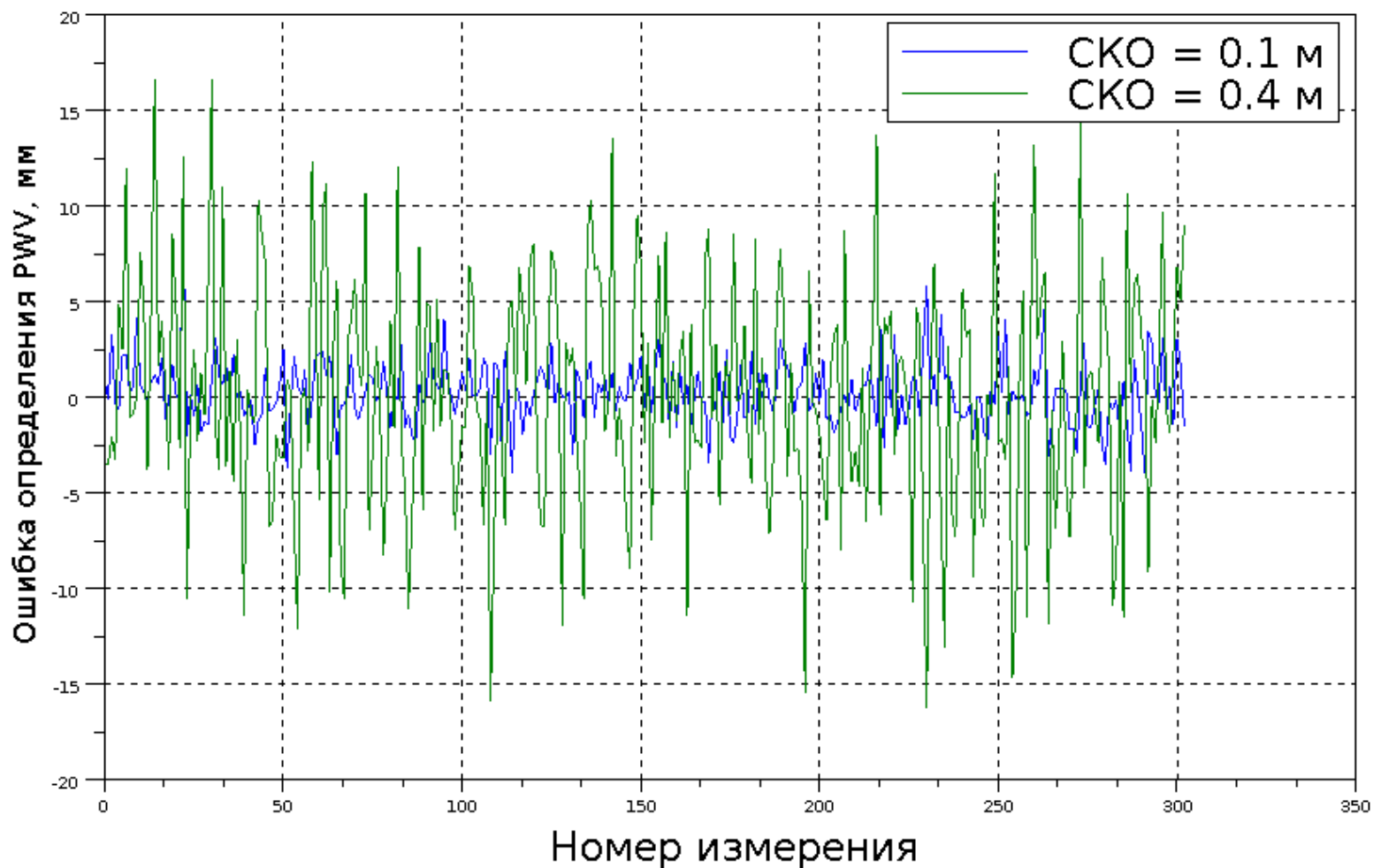
$$\Delta L_{ГС} = \frac{2.2768 \cdot 10^{-5} \cdot P_0}{g_m \cdot \left(\sin \beta + \frac{a}{\sin \beta + \frac{b}{\sin \beta + 0.078}} \right)}$$

$$g_m = 9.784 \cdot [1 - 0.00266 \cdot \cos(2\varphi) - 0.00028 \cdot 10^{-3} \cdot h]$$

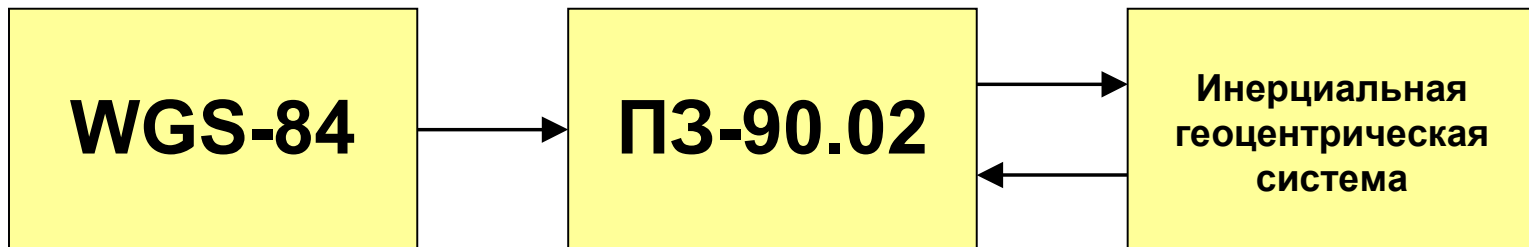
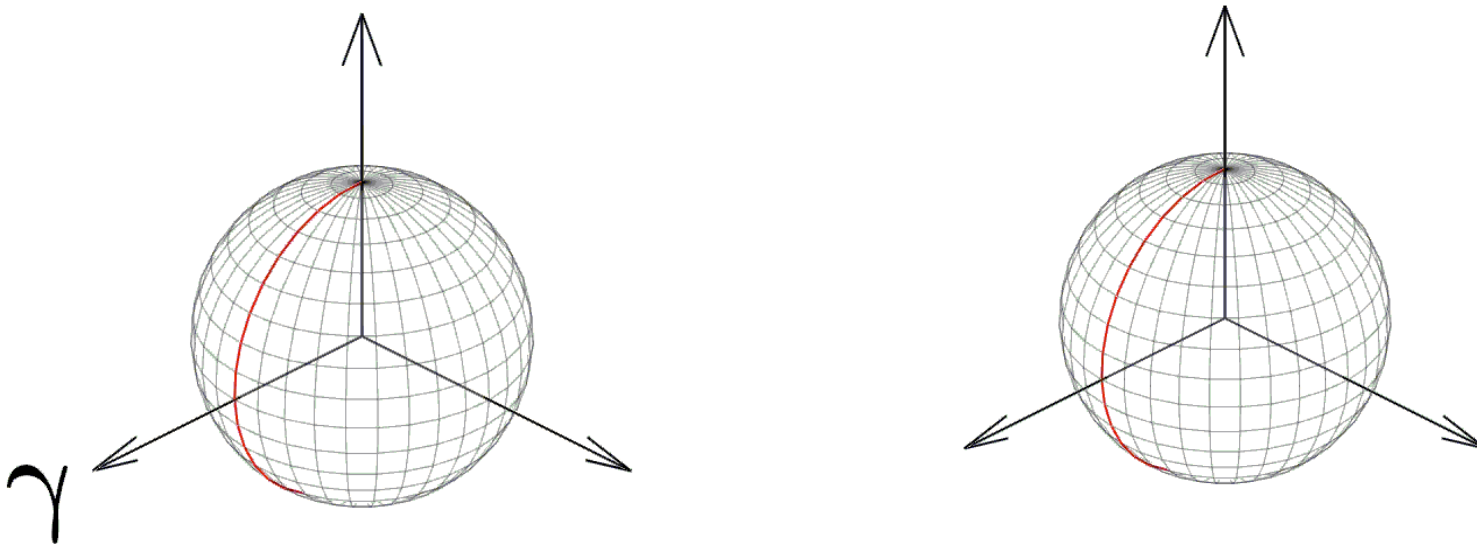
$$a = 1.237 \cdot 10^{-3} + 1.316 \cdot 10^{-9} \cdot (P_0 - 10^5) + 1.378 \cdot 10^{-6} \cdot (T_0 - 288.15) + 8.057 \cdot 10^{-7} \cdot \sqrt{e_0}$$

$$b = 3.333 \cdot 10^{-3} + 1.946 \cdot 10^{-9} \cdot (P_0 - 10^5) + 1.040 \cdot 10^{-7} \cdot (T_0 - 288.15) + 1.747 \cdot 10^{-8} \cdot \sqrt{e_0}$$

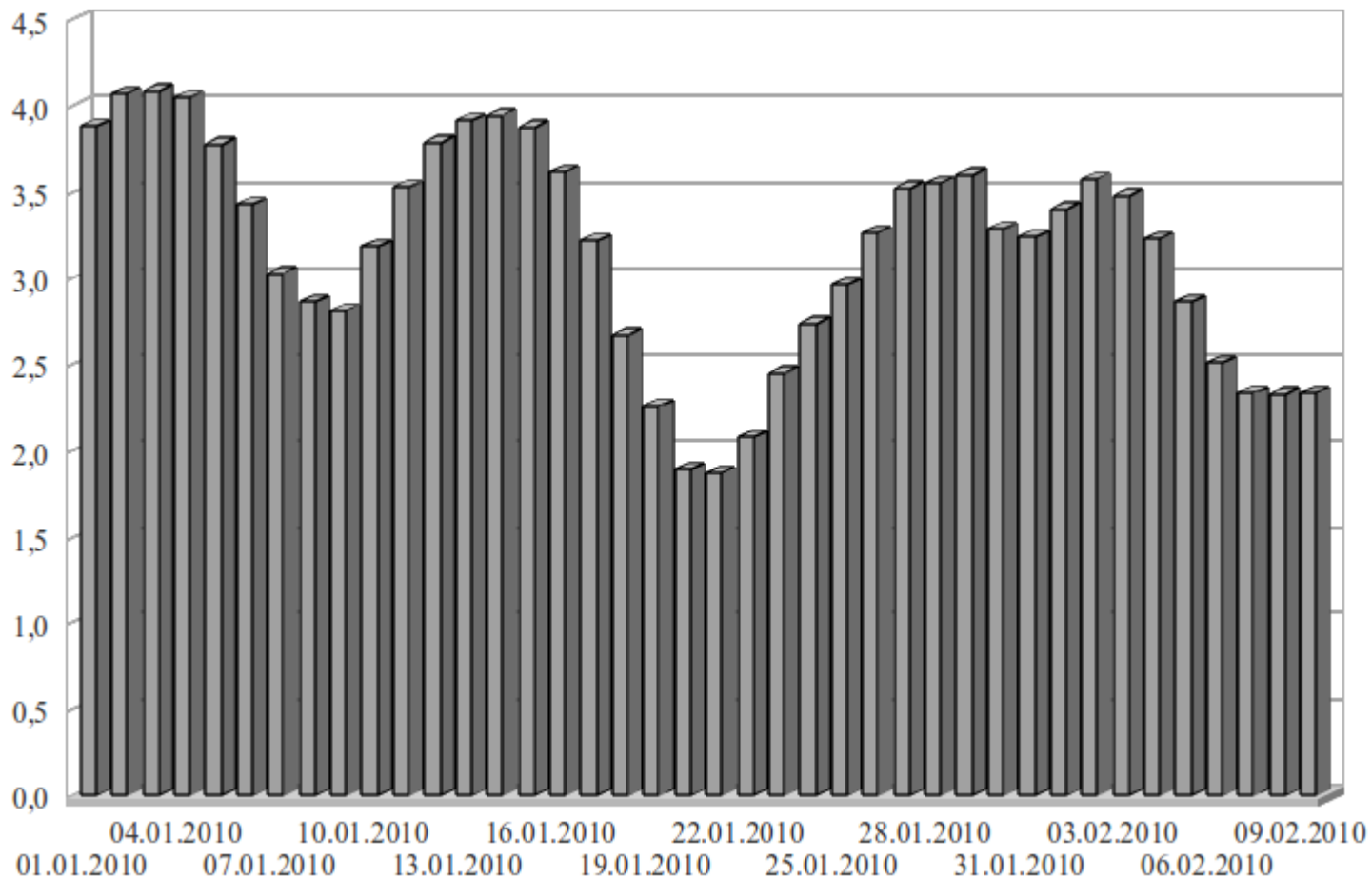
Точность определения интегрального содержания водяного пара в атмосфере (Санкт-Петербург, январь-май 2009 г.)



Инерциальная геоцентрическая и гринвичская геоцентрическая системы координат



Точность определения местоположения КА ГЛОНАСС



Определение полного электронного содержания в ионосфере

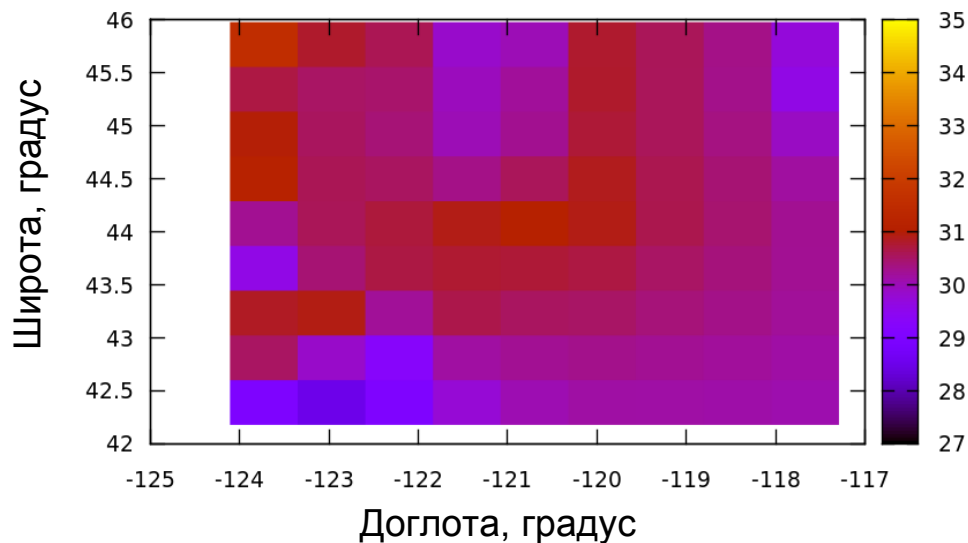
При использовании двухчастотного навигационного приемника, благодаря эффекту дисперсии радиоволн в ионосфере, оказывается возможным рассчитать полное содержание электронов в вертикальном столбе ионосферы:

$$TEC = \frac{f_1^2 f_2^2 (L_{ИЗМ(2)} - L_{ИЗМ(1)}) \left[1 - \left(\frac{R \cdot \cos \beta}{R + z_{\max}} \right)^2 \right]^{0.5}}{40.4 (f_2^2 - f_1^2)}$$

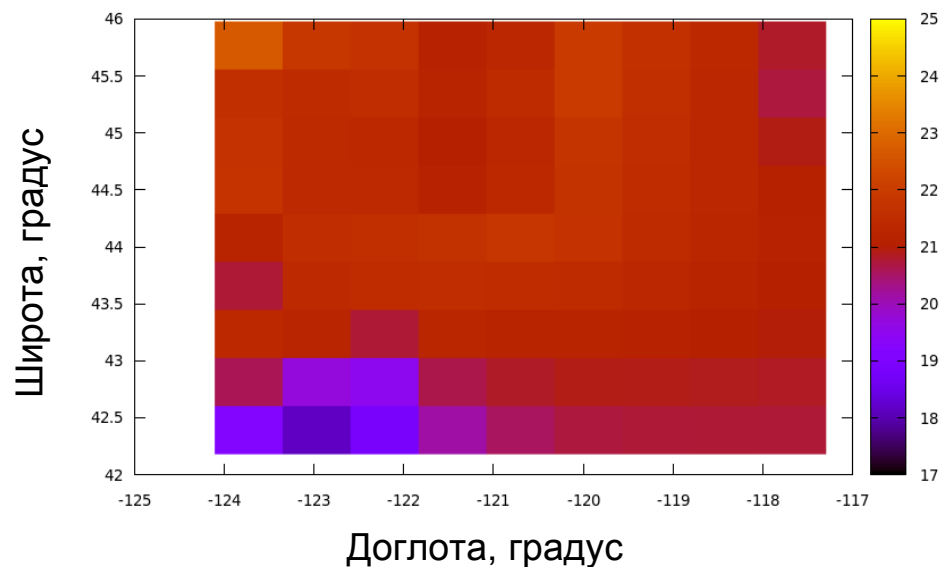
где $R = 6\,371\,221$ м

$z_{\max} = 432\,500$ м

Полученные пространственные распределения содержания электронов в ионосфере

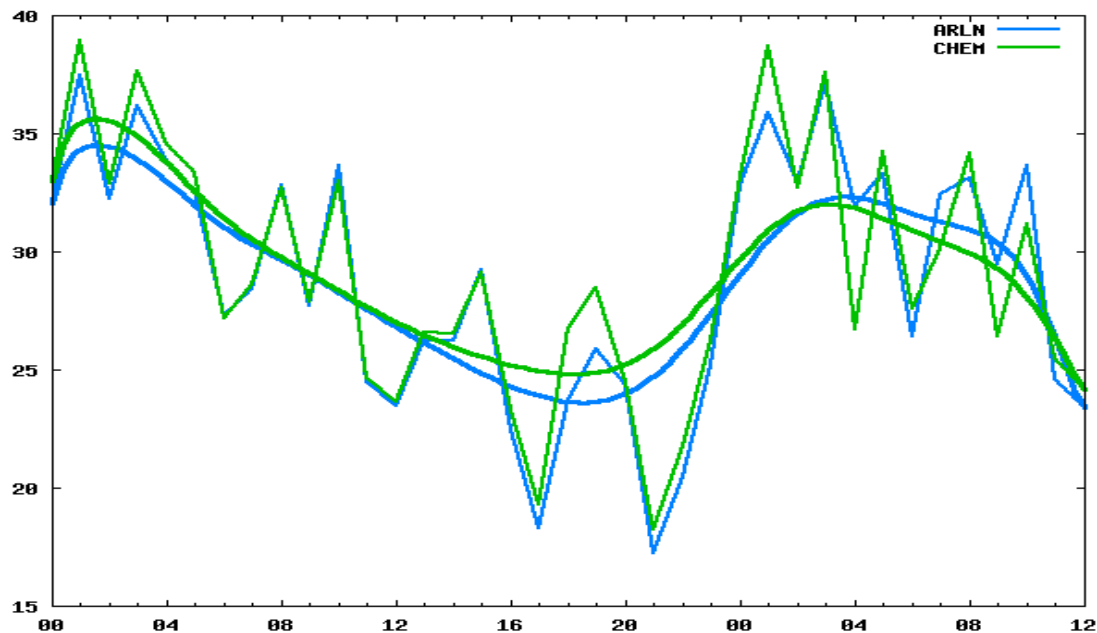


На рисунке представлены рассчитанные значения ПЭС на момент времени 01.12.2009 00:00 UTC



На рисунке представлены рассчитанные значения ПЭС на момент времени 01.12.2009 12:00 UTC

Временной ход полного электронного содержания в ионосфере



На рисунке представлены значения ПЭС, рассчитанные по данным двух навигационных станций, находящихся на расстоянии 304 км друг от друга в период с 01.12.2009 00:00 по 02.12.2009 12:00 UTC с шагом в 1 час

Приемная аппаратура сигналов ГНСС



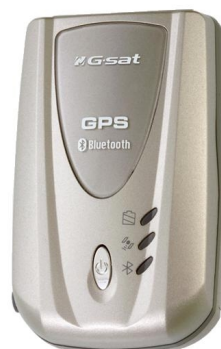
Торсон GB-1000

Система: ГЛОНАСС/GPS

Число каналов: 40

Чипсет: Paradigm

Диапазон частот: L1 и L2



GlobalSat BT-338

Система: GPS

Число каналов: 20

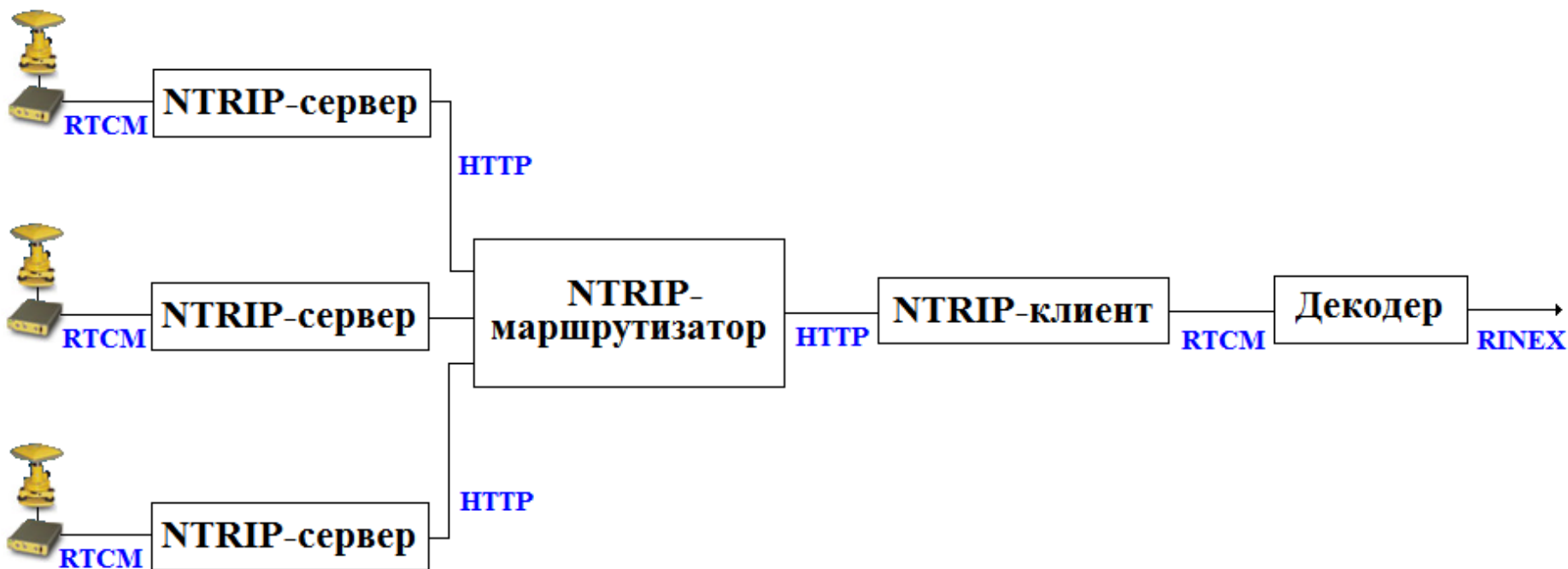
Чипсет: SiRF Star III

Диапазон частот: L1

Сеть базовых станций EUREF



NTRIP-технология сбора навигационных данных в режиме реального времени

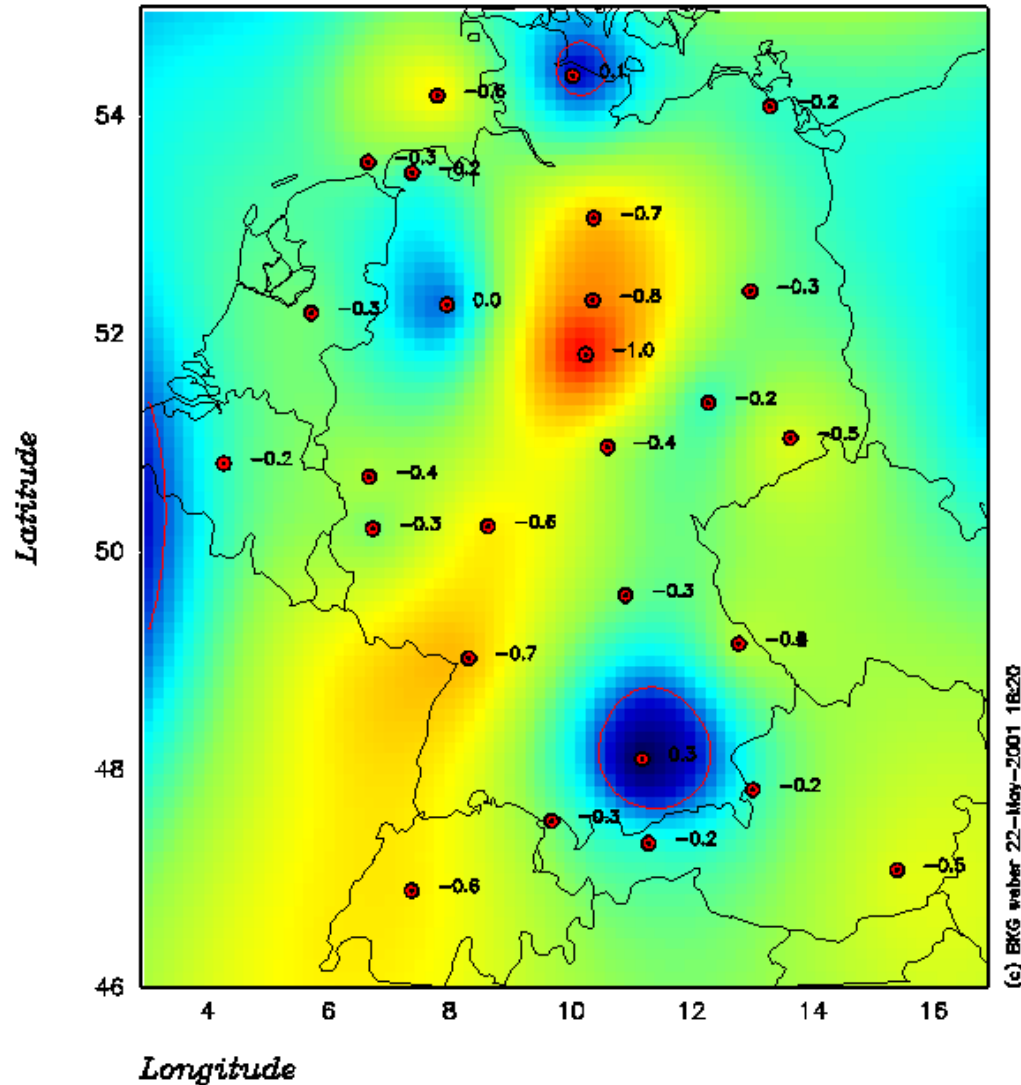


NTRIP-маршрутизатор в РГГМУ

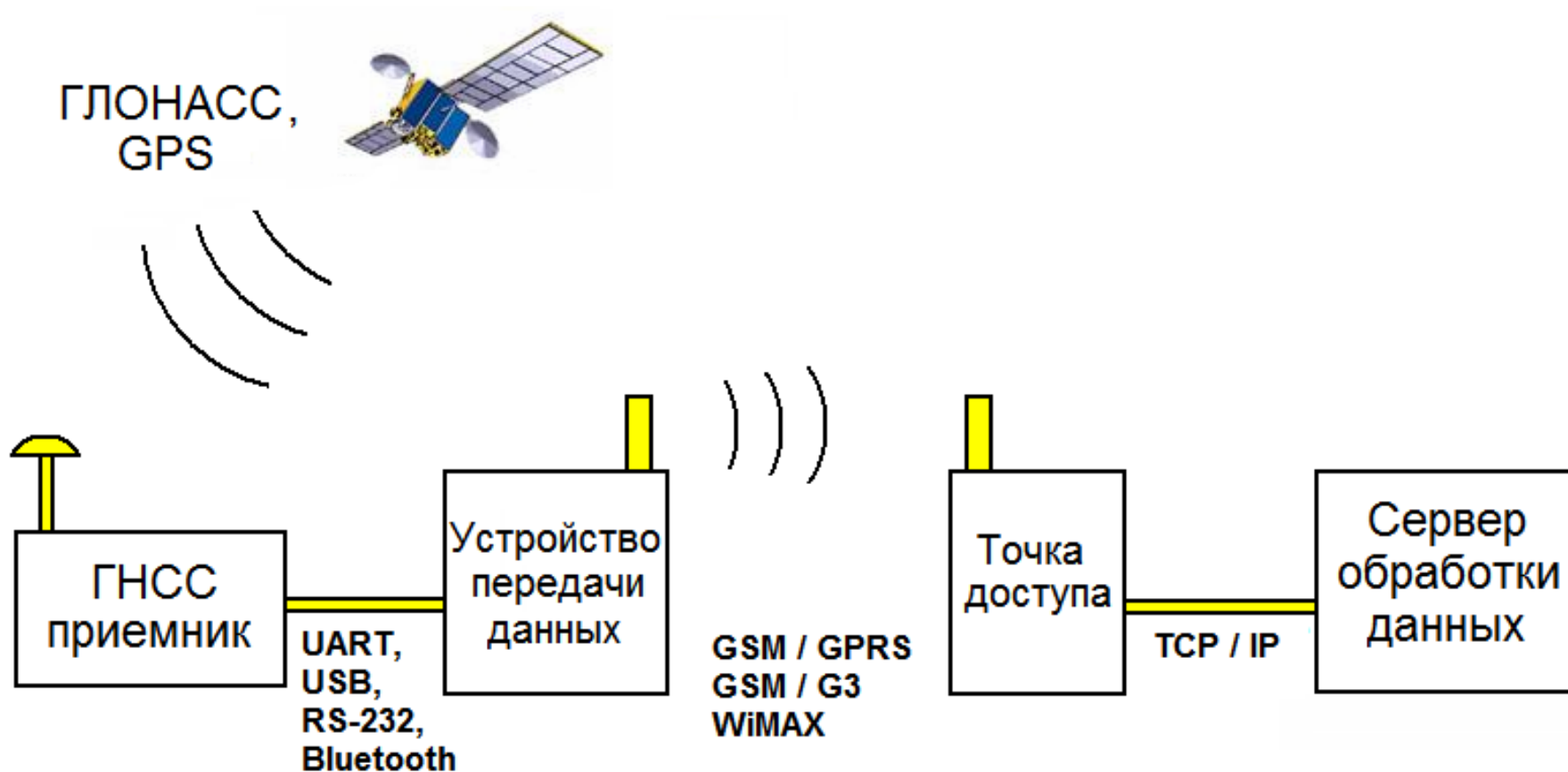


Пространственное распределение значений вертикальной задержки радиосигнала в тропосфере

по данным сети станций ВКГ (Федеральное агентство картографии и геодезии), Германия



Система сбора навигационных данных



Система коррекции навигационных данных



Корректирующая информация о задержке радиосигнала в атмосфере

Задержка навигационного радиосигнала **в тропосфере**:

$$\Delta L_{TP} = \frac{2.2768 \cdot 10^{-5} \cdot P_0}{g_m \cdot \left(\sin \beta + \frac{a}{\sin \beta + \frac{b}{\sin \beta + 0.078}} \right)} + \frac{\left(k'_2 \cdot R_{\Pi} + \frac{k_3 \cdot R_{\Pi}}{T_m} \right) \cdot PWV}{\left(\sin \beta + \frac{c}{\sin \beta + \frac{d}{\sin \beta + 0.05917}} \right)}$$

В случае одночастотных измерений задержка радиосигнала **в ионосфере** рассчитывается следующим образом:

$$\Delta L_{\text{ИОН}} = \frac{-40.4 \cdot \text{TEC}}{f_1^2 \left[1 - \left(\frac{R \cdot \cos \beta}{R + z_{\max}} \right)^2 \right]^{0.5}}$$

Заключение

- Использование данной системы позволит обеспечить пользователей информацией о **состоянии атмосферы** и улучшить **точность позиционирования** потребителей навигационной информации;
- Использование оперативной информации о содержании водяного пара в атмосфере в численных моделях прогноза погоды позволит улучшить **детализацию** данных и **точность** региональных краткосрочных **прогнозов погоды**.

Спасибо за внимание!

E-mail: chukin@rshu.ru

Сайт проекта: <http://www.meteolab.ru>